

北大工学部

正員

奈良久

"

"

藤田嘉夫

"

中津川 江

## 1. まえがき

著者らは先にセメントペーストおよびモルタルのひびわれ発生伝播、骨材とマトリックスとの付着特性等について種々検討すると同時に Griffith 理論によってひびわれ先端における応力拡大係数、あるいはひびみエネルギー解放率などを用い複合材料であるコンクリートの破壊過程を確率論的に解明してきた。本研究では AE 法によつて引張应力下での内部ひびわれによる音響信号を観察、解析するにあたり Weibull の示した破壊確率分布函数を用いてコンクリートの破壊過程を確率論的に考察し、その妥当性について基礎的研究を行なつたものである。

## 2. 実験方法

材料として、セメントは普通ポルトランドセメント、細骨材は豊浦産標準砂、粗骨材は静内川産の砂利（粒径 1~13 mm、粗粒率 5.7%）を用い、図-1(a) に示す形状、寸法の供試体を表-1 に示す種類について各 3 本づつ作製した。供試体は打設後 24 時間型枠まま湿润養生し、その後脱型して 21 日間 20°C の水槽内で養生し、7 日間室内に放置した後、残り 35 日にて引張試験を行なつた。7 日間の空中放置は AE 信号音が供試体の乾燥により発生数が異なるため、乾燥度がほぼ一定となる 7 日間室内乾燥を行なつたものである。引張試験は 図-1(b) に示す載荷装置で行なつた。AE 信号は 図-1(c) に示す装置により測定した。この時、シンクロスコープの掃引時間は 0.5 ms/cm、しきい値は一定（トランジスタによる）であり一定量の水滴を落下した時に掃引、カウントするように校正）とし、荷重 50 kg 毎に AE 信号音数を記録した。

## 3. 実験結果および考察

引張試験において供試体内部破壊が生ずるにあたり AE 信号が発生するのであるからこの時の破壊程度は、発生する AE 信号のエネルギーレベルによって表わされると考えられる。エネルギーレベル  $E_i$  は

$$E_i \propto e_i \cdot f_i^2 \quad (1)$$

$e_i$  : 信号振幅,  $f_i$  : 周波数

本実験の場合、 $f_i$  は一定であり、 $e_i$  もほぼ一定であるので、供試体の破壊確率 IF AE 信号の総数  $N$  と各応力段階毎の仰数  $n_i$  とより

$$\bar{r} = \frac{\sum n_i}{N} \quad (2)$$

と表わすことができる。実験結果を縦軸に  $\ln \ln \frac{1}{1-s}$ 、横軸に  $\ln \sigma$  をプロットすれば 図-2 のように高応力レベルで急上昇する傾向があるがほぼ直線となり、この直線の式は

$$\ln \ln \frac{1}{1-s} = A \cdot \ln \sigma + K \quad (3)$$

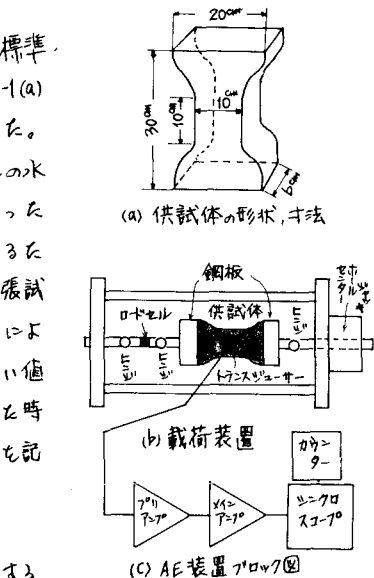
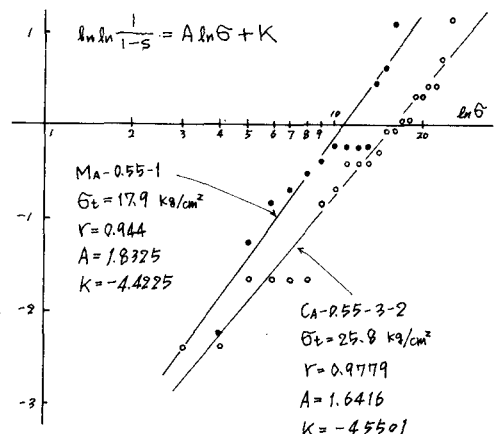


図-1. 供試体、装置

図-2  $\ln \ln \frac{1}{1-s} = A \ln \sigma + K$  の図

となる。 $\equiv \exists K = \ln B$  とすれば"

$$S = 1 - e^{-BS^A} \quad (4)$$

となり、これは Weibull の示した脆性体の破壊確率分布函数<sup>(文1)</sup>と一致する。よってモルタルおよびコンクリートの破壊過程は式(4)で表現でき、単位体積の破壊応力度の最確値は

$$G_0 = e^{-\frac{K}{A}} P \left( \frac{1}{A} + 1 \right) \quad (5)$$

となり、体積の供試体の破壊応力値の最確値は次式のように表わされる。

$$\bar{\sigma}_v = \bar{\sigma}_{cr} + \bar{\sigma}_0 / r^{\frac{1}{A}} \quad (6)$$

= = 1 =  $\overline{G}_{cr}$ ;  $\overline{G}_{cr}$ まで破壊確率が 0 となる 2 つの応力

； $V/(A \cdot k)$ 求出的单位体积供試體的伸長

本実験により求まつた A, K,  $\bar{G}_t$  (破壊応力値),  $\Delta G_t$  を表-1に示す。A と K は図-3 に示すようすの関係あり、また  $K/A$  と  $(\bar{G}_t - \Delta G_t)$  の実験値と前面には図-4 に示す関係が認められた。図-5 は、 $\bar{G}_t$ , 実験により得られた標準供試体(単位体積,  $b = 5\text{ cm}$ ) の A, K を用い(5), (6)式により計算した破壊応力値の最確値( $\bar{G}_{cal. ①}$ ), および図-3, 図-4 に示す求まつた関係式により標準供試体の A, K を算定し, これらによく  $\bar{G}_{cal. ②}$  同様に計算した破壊応力値の最確値( $\bar{G}_{cal. ③}$ )

を示したものである。図-1によれば、理論値は  $\Delta c$  が大なる程破壊応力度が減少する二点を示しており、 $W_{cr}$  が大なる程、粗骨材を有する程、その傾向は大きい。また実験値の大部 分は理論値より大きである。これは本実験の場合、(2)式に与えた  $N$  として破壊時の  $N$  を測定することは不可能なため、破壊直前の  $N$  を使用したため真の  $N$  より小さく見積っており正確な A.T. を算定できなかったためと、 $\Delta c_r$  としてはじめて AE 信号を用いて主応力度の平均値を使用したが、これは過少であるためと思われる。 $\Delta c_r$  としてモルタルに対する標準供試体の実測破壊応力度の予割、コンクリートに対する骨材とモルタルマトリッフスとの界面にクラックが生ずる時の応力度 ( $\Delta c_r = \chi_3 C_t^{1/2}$ ,  $\chi_3$ ; 倍数,  $C_t$ ; 引張付着強度) により算定、本実験の場合  $\Delta c_r = 7.8 \text{ kg/cm}^2$  を用いて破壊応力度を算定しあげると図-1中の  $\Delta c_{cal}$  (3)となり、実測値とほぼ一致する。

#### 4. 講 種

引張荷重下でのコンクリート単位体積供試体のAE信号を評価するところにより、Weibull の示した破壊確率分布関数を用いて、その供試体の破壊過程を表現でき、二の時、欠陥本生じるか最も最高応力度  $\sigma_{cr}$  を適切に求めれば、二ヶ所によく体積Vの供試体の破壊応力度、最確値をより程度の精度で算定するところが可能である。  
 文1) W. Weibull, "A Statistical Theory of the Strength of Materials" *Ingenvor Vetenkaps Akademiens Handlingar* NR 151, 1939  
 文2) Y. Fujita & N. Szeiki "On Crack Initiation and Propagation of Plain Concrete" *v Concrete Journal*, Vol.16, No.11, Nov.1971

表-1 供試体の種類および実験値

	width or 厚度	w/c	s/c	b cm	$\frac{S_t}{kg/cm^2}$	A	-K	$\bar{G}_{cr}$ $kg/cm^2$	
MA-0.50	11.91L	0.50	2	—	5.0	16.5	3.5750	8.9529	2.1
MA-0.55	"	0.55	"	—	"	17.9	1.8325	4.4225	2.1
CA-0.55	11.74-1	"	"	3	"	24.9	1.5647	4.4227	2.8
MB-0.50	11.91L	0.50	"	—	7.5	16.0	1.8377	5.0761	2.1
MB-0.55	"	0.55	"	—	"	12.6	1.1276	3.0004	2.1
CB-0.55	11.74-1	"	"	3	"	18.7	2.0493	6.0557	2.8
Mc-0.50	11.91L	0.50	"	—	10.0	14.9	1.6165	4.3301	2.1
Mc-0.55	"	0.55	"	—	"	15.3	1.3744	3.3610	2.1
Cc-0.55	11.74-1	"	"	3	"	22.5	1.4127	4.2015	2.8

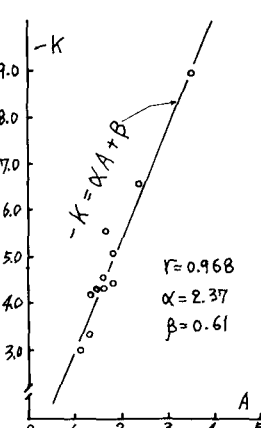


図-3 AとKの関係

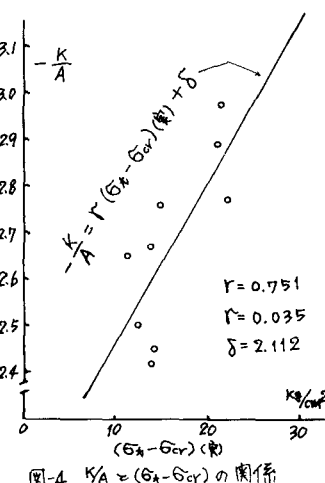
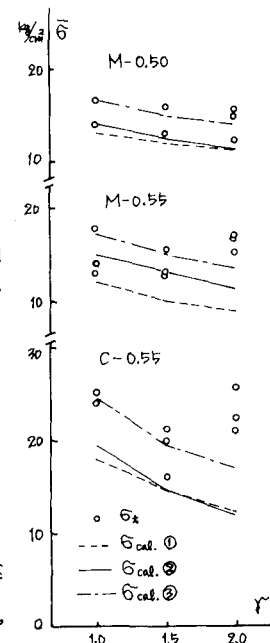


図-4  $K/A \approx (G_A - G_{\text{cr}})$  の関係



W-5 6-1 W